

曲線工桁橋における横構効果に関する 2, 3 の考察

大陸大学工学部 正員 前田 幸雄
 大陸大学工学部 正員 松井 繁之
 大陸大学工学部 学生員○加藤 久人

1. まえがき: 並列曲線橋では荷重分配作用の向上と橋全体のねじり剛性を高めるため十分に剛な横構が配置される。従来、この種の橋梁設計では格子解析が基準となっていた。その解析モデルでは水平面外の曲げ変形のみ考慮するため、軸力部材である横構はその効果の重要性が明確でないという理由から、設計上は二次部材として扱われている。本研究は汎用 FEM プログラムの基本要素を用い曲げねじりを考慮できかつ横構を直接導入できる三次元モデルを提案し、その数値解析を根拠に横構効果を具体的に評価し一次部材として設計すべきことを強調したい。

2. 解析モデル: 解析に用いた三次元モデルを Fig.1 に示す。上下フランジを棒要素で、それらをつなぐウェブは膜要素を用い表現される。2 つにこのウェブは面外剛性を有しないためこの面外変形を拘束するため一連の垂直棒要素を配置した。この棒要素は実際構造での垂直補剛材に相当する。断面のモーメントは上述のフランジ棒要素に作用する鉛直軸回りのモーメントから求められる。曲線桁軸線に沿って直線要素で分割近似するため単折要素分割数に対する精度チェックを行なった。Fig.2 に支間中央載荷の中央点たわみ結果を曲げねじりを考慮した理論解との比で示す。中心角 α の実用的範囲 ($0.0 \sim 0.8$) において最も分割数の粗い 12 メッシュでも誤差を 2% 以内に納めることができ提案したモデルが曲線桁の挙動解析に通用し得ることが判った。

3. 解析結果: このモデルを合成桁橋に応用し、中心角に関するパラメトリック解析を行なった。Fig.3 の断面を基本とし、最初、等断面 3 本主桁橋を解析した。荷重は Fig.5 に示す方書のし荷重である。解析結果の一例として、支間中央下フランジの曲げ応力、モーメントを Fig.6 に示す。中心角の増加に伴い外折れ曲げ応力、モーメントとも卓越した結果となった。この等断面を用いた構造は不経済となり、非現実的なものである。そこで次の様な相似比を用い基本断面を外折で拡大、内折で縮少し現実的断面構造で同様の解析を行

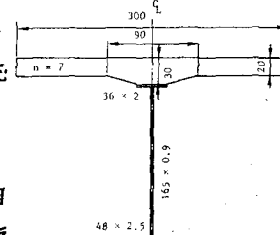


Fig.3 Basic Cross Section of Composite Girder

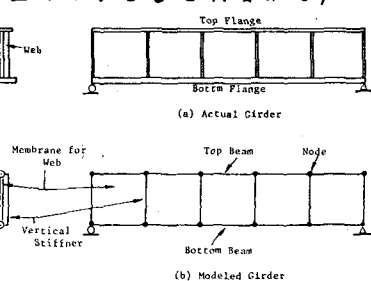


Fig.1 Modeling of I-girder

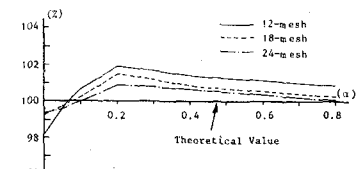


Fig.2 Mid Span Deflection (a: Opening Angle)

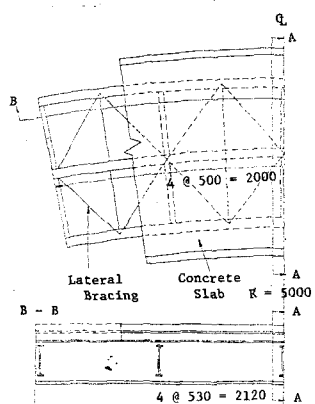


Fig.4 Composite Bridge

Yukio MAEDA Shigeyuki MATSUI Hisato KATO

なった。

$$k_o = \sqrt[3]{\sigma_{bo}/\sigma_{bm}}, k_i = \sqrt[3]{\sigma_{bi}/\sigma_{bm}}$$

ここに σ_{bo} , σ_{bm} , σ_{bi} は等断面構造の外、中、内桁に

発生した曲げ応力、 k_o , k_i は外、内桁に対する相似比である。これらは新し

い修正断面の各桁にあひて、等断面桁に作用した

モーメントが作用するとして、それによる各桁の

応力を等しくする一次の修正係数である。修正断面の再解析から得た応力を Fig.7 に示す。各桁の曲げ応力、そり応力とも均等に発生するよう

になり、上記修正の妥当性が認められる。さて実際設計ではこれら曲げ応力とそり応力の合応力が問題となる。そしてその応力の横構付きと横構無しの場合の比較によつて横構の効果が考

察できる。具体的評価のため両者の比をとって Fig.8 に示した。中心角が 0.1 を越える付近よりその効果が現われ 0.4 では外桁で約 20%, 内桁で約 30% の応力が減少される。

著者らはさうに同様のモデルでウエブに中間節点を設け、横構のとり付け高さを変化させた

解析、および、横構自体の断面積を変化させる

解析を行なつた。前者からは横構取り付け高さの増加にほぼ比例して横構効果が増し、また後者からは断面積を増加するに従い横構効果は増

すが一定の収束値に近づくことが判つた。

4. 総論: 以上の結果から曲線工桁橋における横

構は主荷重による主桁応力に大きく影響することがわかつ、その

設計においてはその効果を考え一次部材として取り扱うべきことを強調したい。

尚詳細については大阪大学工学報告 1982 年第 1 号、8 月発刊予定を参照されたい。

参考文献

中井博ほか: 曲線工桁橋の斜傾構横構の弹性挙動について; 土木学会 31 回年次講演会概要集 I-62

大塚久哲、吉村虎蔵: 直列工桁曲線および直線橋における主桁付加応力と横構材材力について; 第 290 号 1979 年 10 月

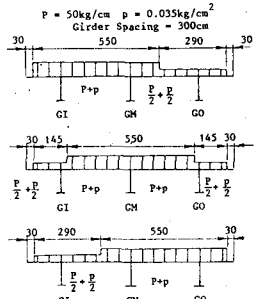
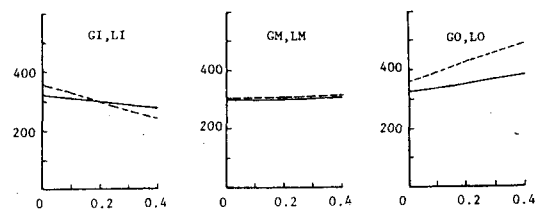
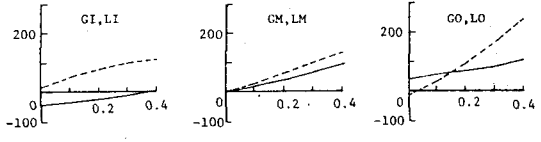


Fig.5 Loading Pattern

— With Bracings
- - - Without Bracings
Abscissa: Opening Angle (radian)
Ordinate: Stress (kg/cm²)

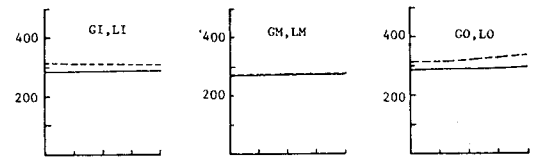


(a) Bending Stress, σ_{wb}

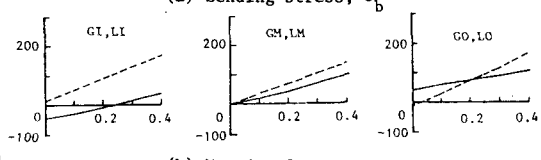


(b) Warping Stress, σ_b

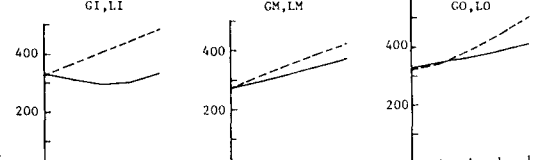
Fig.6 Stresses in Equivalent Girder System



(c) Total Stress, $\sigma_t = \sigma_b + |\sigma_{wb}|$



(a) Bending Stress, σ_b



(b) Warping Stress, σ_b

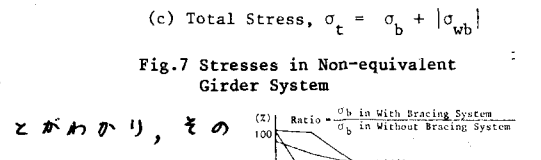


Fig.7 Stresses in Non-equivalent Girder System

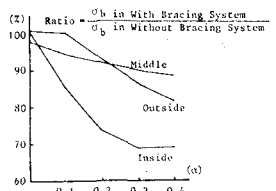


Fig.8 Bracing Effects on Non-equivalent Girder System